

HIDRÓXIDOS DUPLOS LAMELARES À BASE DE ESCÓRIA DE ALTO FORNO

Monaliza Maia Rebelo*, Márcia Valéria Porto de Oliveira Cunha e José Augusto Martins Corrêa
Instituto de Geociências, Universidade Federal do Pará, Av. Augusto Corrêa, 1, 66075-110 Belém – PA, Brasil

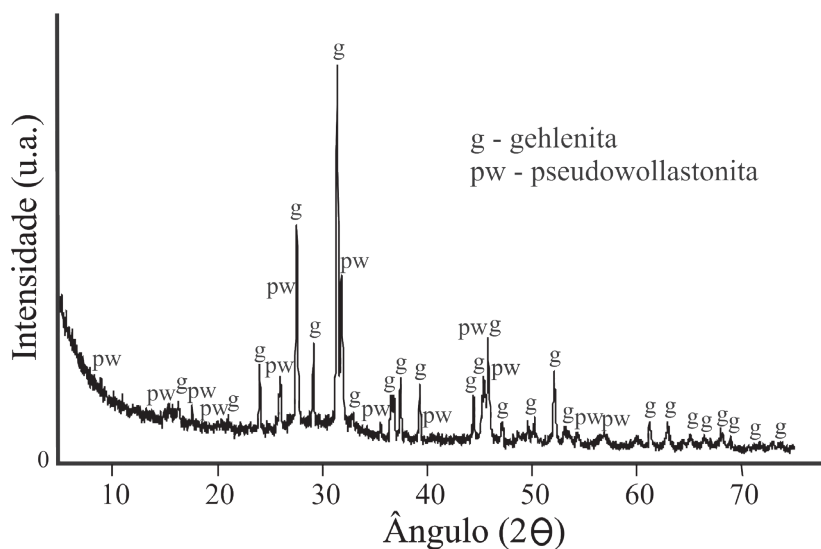


Figura 1S. Difratoograma de raios X da EAF, mostrando as principais fases cristalinas observadas - gehlenita (PDF 01-087-0968) e pseudowollastonita (PDF 01-074-0874)

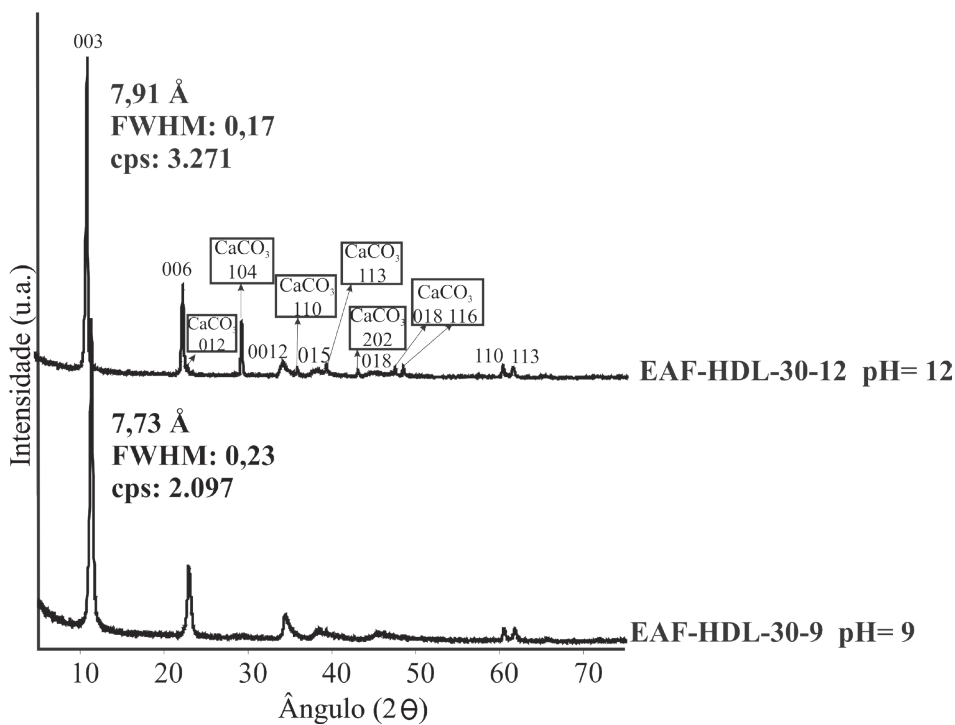


Figura 2S. Difratoogramas de raios X dos HDLs sintetizados a 30 °C em pH 9 (EAF-HDL-30-9) e pH 12 (EAF-HDL-30-12). Notar na amostra EAF-HDL-30-12 a presença de picos típicos da calcita

*e-mail: monalizamaia@yahoo.com.br

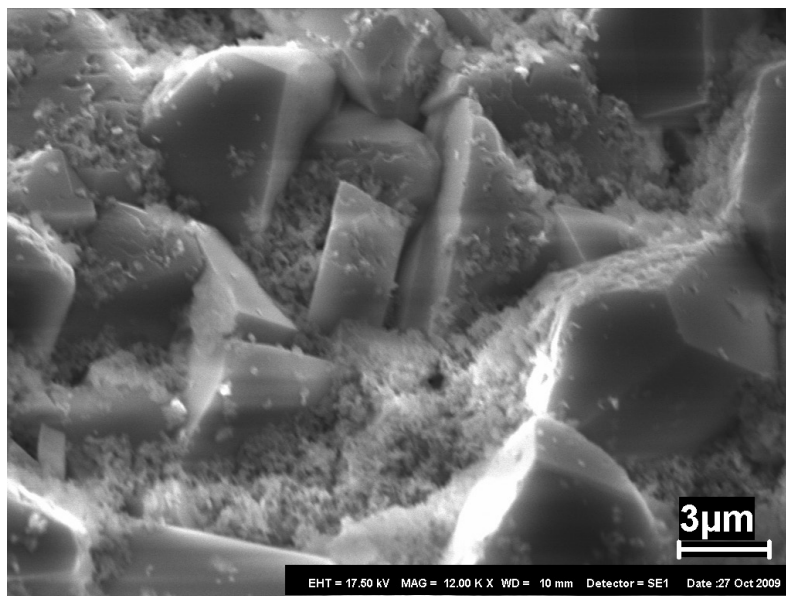


Figura 3S. Imagem de MEV do composto EAF-HDL-30-12 sintetizado a 30 °C em pH 12. Notar os romboedros de calcita envolvidos em cristalitos de HDL

Tabela 1S. Comparação entre os dados de distância interplanar d_{hkl} (Å) dos HDLs EAF-HDL-30-9 e EAF-HDL-30-12, EAF-HDL-45-9 e EAF-HDL-45-12, obtidos dos difratogramas de raios X, e os dados de HDLs de sistemas similares produzidos por Ross e Kodama²² e Myata²³

EAF-HDL 30-9	EAF-HD 30-12	HDL-CO ₃ ²²	EAF-HDL 45-9	EAF-HDL 45-12	HDL-CI ²³
7,73	7,91	7,69	7,81	7,98	7,98
3,88	3,96	3,88	3,91	3,99	3,98
					2,65
2,61	2,62	2,58	2,61	2,62	2,61
2,34	2,37	2,33		2,36	
					2,29
					2,02
	1,91	1,96			1,99
		1,75			
		1,65			
1,53	1,54	1,53	1,53	1,54	1,53
1,50	1,51	1,50	1,50	1,51	1,51
1,42	1,43		1,43	1,44	
			1,32	1,33	1,32
					1,28